

ภาควิชาวิศวกรรมเหมืองแร่และวัสดุ

คณะวิศวกรรมศาสตร์

มหาวิทยาลัยสงขลานครินทร์

การสอบกลางภาคการศึกษาที่ 1

ปีการศึกษา 2555

วันอังคารที่ 31 กรกฎาคม 2555

เวลา: 09.00-12.00 น.

วิชา: 237-405 Materials and Process Selection

ห้อง: S 103

คำชี้แจง

1. ข้อสอบมีทั้งหมด 4 ข้อ ให้ทำทุกข้อ
2. ไม่อนุญาตให้นำตำรา เอกสารอื่นๆ เข้าห้องสอบ
3. อนุญาตให้นำเครื่องคิดเลขเข้าห้องสอบได้
4. คะแนนสอบครั้งนี้ คิดเป็น 25 % ของคะแนนรวมทั้งหมด

อ.ชรินทร์ ดำรัสการ

ผู้ออกข้อสอบ

ชื่อ.....รหัส.....

1.อธิบายแนวคิดการการเลือกใช้วัสดุตามวิธีของ Ashby (5 คะแนน)

ชื่อ.....รหัส.....

2.อธิบายความหมายของคำต่อไปนี้ (ในความหมายของการเลือกใช้วัสดุ) (4 คะแนน)

Function

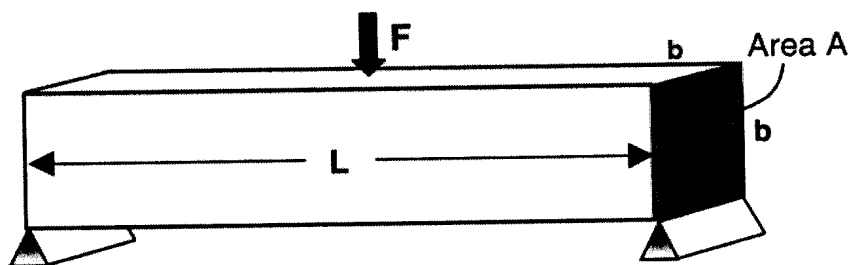
Constraints

Objective

Free variable

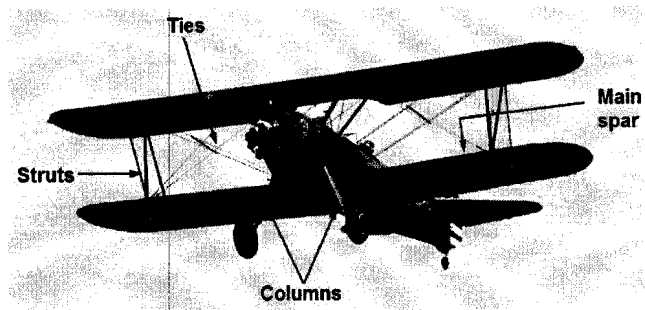
ชื่อ.....รหัส.....

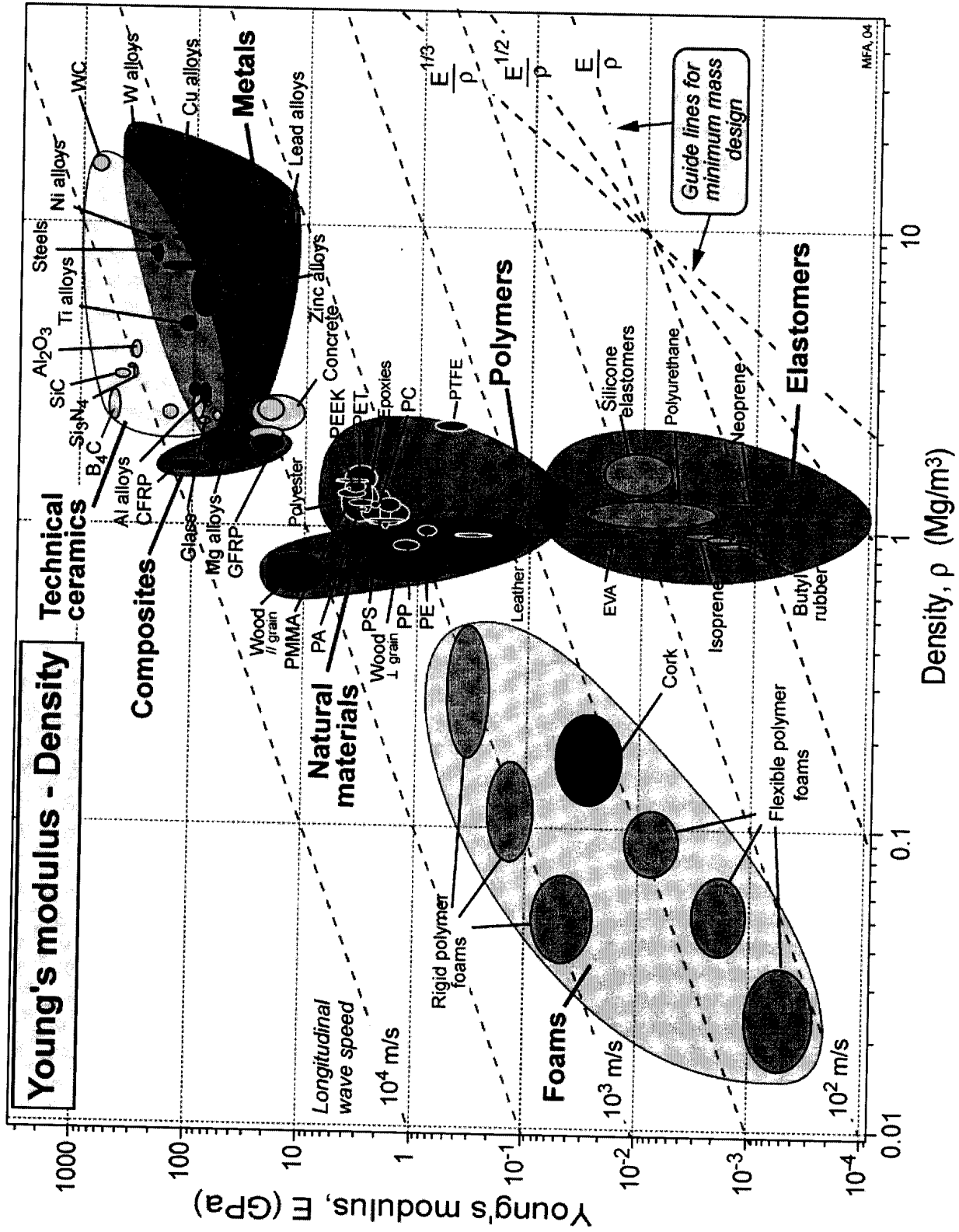
3. คานยาว L พื้นที่หน้าตัด A รับแรง F ดังรูป ให้หา materials index สำหรับคานที่แกร่ง (stiff) และเบา (6 คะแนน)

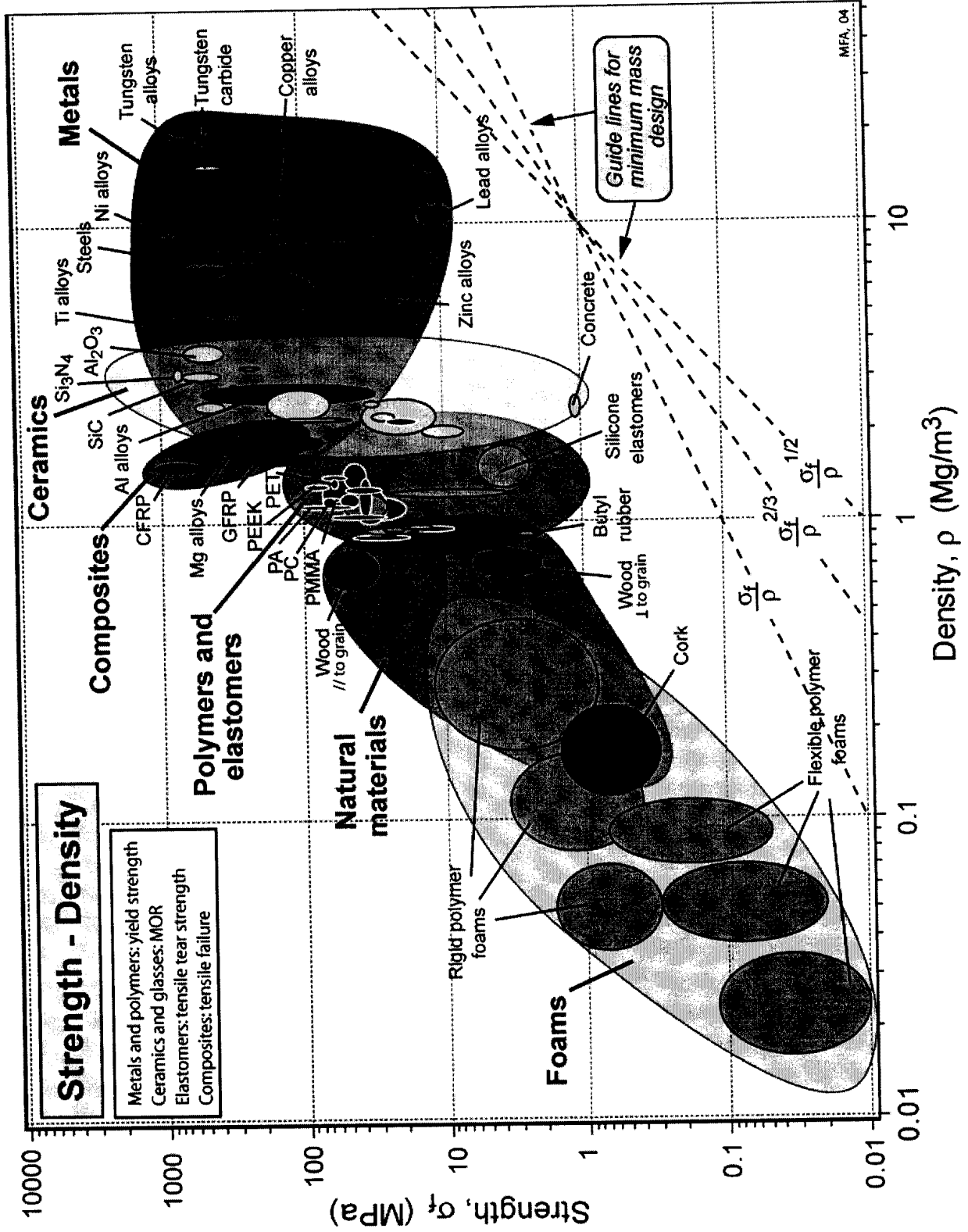


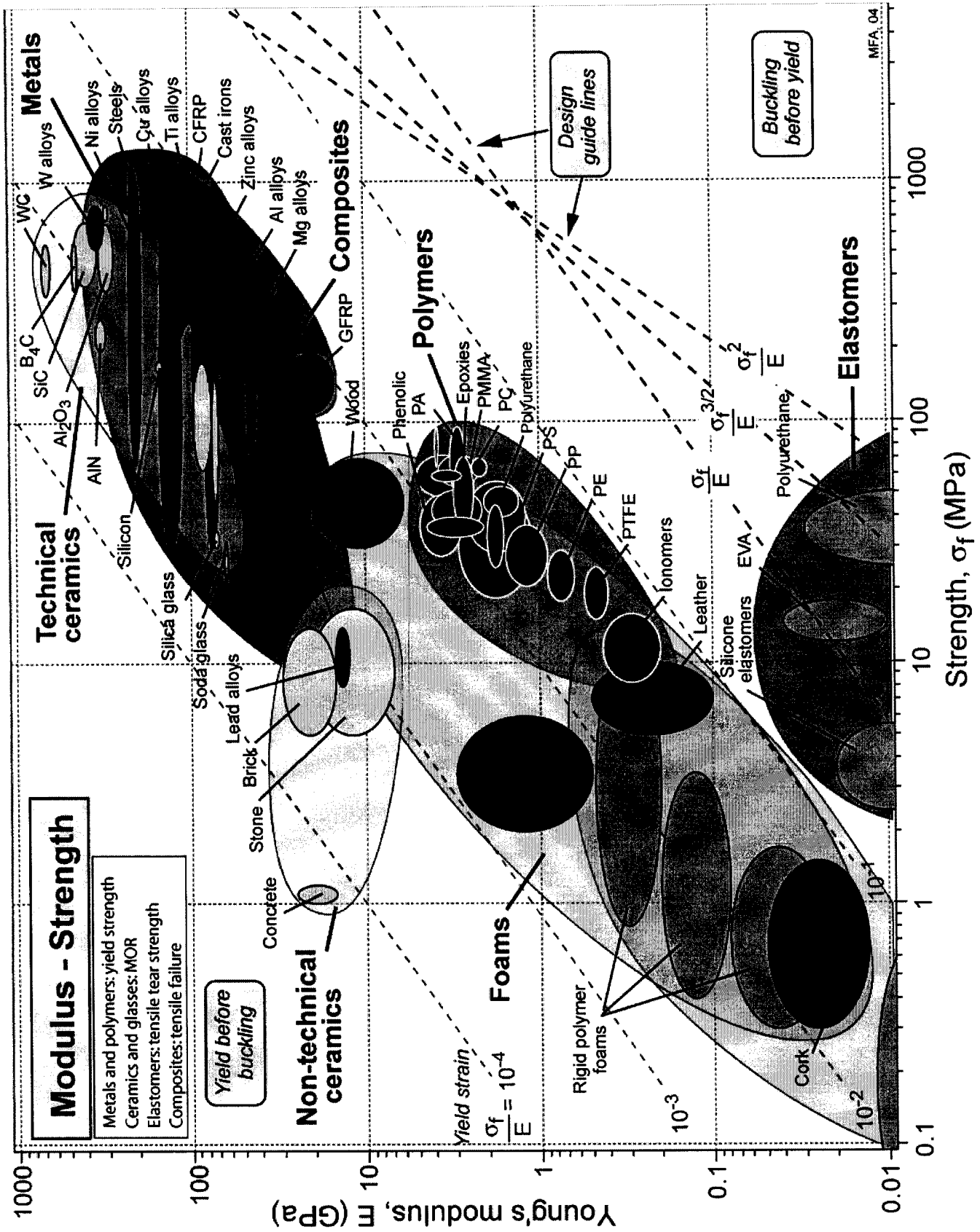
ชื่อ.....รหัส.....

4.แสดงวิธีเลือกวัสดุที่ใช้ทำปีกเครื่องบิน(Main spar) โดยค่าที่คาดว่าจะต้องใช้ให้สมมุติขึ้นมาอย่างสมเหตุสมผล (10 คะแนน)










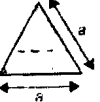

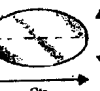

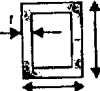
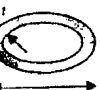
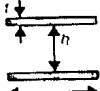

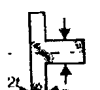
Section Shape	Area A m ²	Moment I m ⁴	Moment K m ⁴	Moment Z m ³	Moment Z _p m ³
	bh	$\frac{bh^3}{12}$	$\frac{bh^3}{3} \left(1 - 0.58 \frac{b}{h}\right)$ ($h > b$)	$\frac{bh^2}{6}$	$\frac{bh^2}{4}$
	$\frac{\sqrt{3}}{4} a^2$	$\frac{a^4}{32\sqrt{3}}$	$\frac{\sqrt{3}a^4}{80}$	$\frac{a^3}{32}$	$\frac{3a^3}{64}$
	πr^2	$\frac{\pi}{4} r^4$	$\frac{\pi}{2} r^4$	$\frac{\pi}{4} r^3$	$\frac{\pi}{3} r^3$
	πab	$\frac{\pi}{4} a^3 b$	$\frac{\pi a^3 b^3}{(a^2 + b^2)}$	$\frac{\pi}{4} a^2 b$	$\frac{\pi}{3} a^2 b$
	$\pi(r_o^2 - r_i^2)$ $-2\pi r t$	$\frac{\pi}{4}(r_o^4 - r_i^4)$ $- \pi r^3 t$	$\frac{\pi}{2}(r_o^4 - r_i^4)$ $- 2\pi r^3 t$	$\frac{\pi}{4} r_o^3 - r_i^3$ $- \pi r^2 t$	$\frac{\pi}{3}(r_o^3 - r_i^3)$ $- \pi r^2 t$
	$2t(h+b)$ ($h, b \gg t$)	$\frac{1}{6} h^3 t \left(1 + 3 \frac{b}{h}\right)$	$\frac{2tb^2 h^2}{(h+b)} \left(1 - \frac{t}{h}\right)^4$	$\frac{1}{3} h^2 t \left(1 + 3 \frac{b}{h}\right)$	$bht \left(1 + \frac{h}{2b}\right)$
	$\pi(a+b)t$ ($a, b \gg t$)	$\frac{\pi}{4} a^3 t \left(1 + \frac{3b}{a}\right)$	$\frac{4\pi(ab)^{5/2} t}{(a^2 + b^2)}$	$\frac{\pi}{4} a^2 t \left(1 + \frac{3b}{a}\right)$	$\pi abt \left(2 + \frac{a}{b}\right)$
	$b(h_o - h)$ $- 2bt$ ($h, b \gg t$)	$\frac{b}{12}(h_o^3 - h^3)$ $- \frac{1}{2} bth_o^2$	-	$\frac{b}{6h_o}(h_o^3 - h^3)$ $- bth_o$	$\frac{b}{4}(h_o^2 - h^2)$ $- bth_o$
	$2t(h+b)$ ($h, b \gg t$)	$\frac{1}{6} h^3 t \left(1 + 3 \frac{b}{h}\right)$	$\frac{2}{3} bt^3 \left(1 + 4 \frac{h}{b}\right)$	$\frac{1}{3} h^2 t \left(1 + 3 \frac{b}{h}\right)$	$bht \left(1 + \frac{h}{2b}\right)$
	$2t(h+b)$ ($h, b \gg t$)	$\frac{t}{6}(h^3 + 4bt^2)$	$\frac{t^3}{3}(8b+h)$	$\frac{t}{3h}(h^3 + 4bt^2)$	$\frac{th^2}{2} \left(1 + \frac{2(b-2t)}{h^2}\right)$

FIGURE B.2

B.3 ELASTIC BENDING OF BEAMS

When a beam is loaded by a force, F , or moments, M , the initially straight axis is deformed into a curve. If the beam is uniform in section and properties, long in relation to its depth, and nowhere stressed beyond the elastic limit, the deflection, δ , and the angle of rotation, θ , can be calculated using elastic beam theory (see Section B.16). The basic differential equation describing the curvature of the beam at a point x along its length is

$$EI \frac{d^2y}{dx^2} = M$$

where y is the lateral deflection, and M is the bending moment at the point x on the beam. E is Young's modulus, and I is the second moment of area (Section B.2). When M is constant this becomes

$$\frac{M}{I} = E \left(\frac{1}{R} - \frac{1}{R_0} \right)$$

where R_0 is the radius of curvature before applying the moment and R is the radius after it is applied. Deflections δ and rotations θ are found by integrating these equations along the beam.

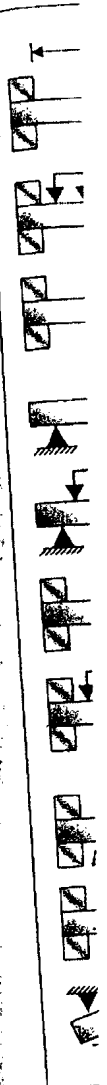
The stiffness of the beam is defined by

$$S = \frac{F}{\delta} = \frac{C_1 EI}{L^3}$$

It depends on Young's modulus, E , for the material of the beam, on its length, L , and on the second moment of its section, I . The end slope of the beam, θ , is given by

$$\theta = \frac{FL^2}{C_2 EI}$$

Equations for the deflection, δ , and end slope, θ , of beams for various common modes of loading are shown on the facing page together with values of C_1 and C_2 .



FIGURE

ially strain
and prop
id the elas
culated us
ial equat
is

at the poin
nent of

and R is
y integrat

on its leng
e beam, θ ,

for variou
r with valu

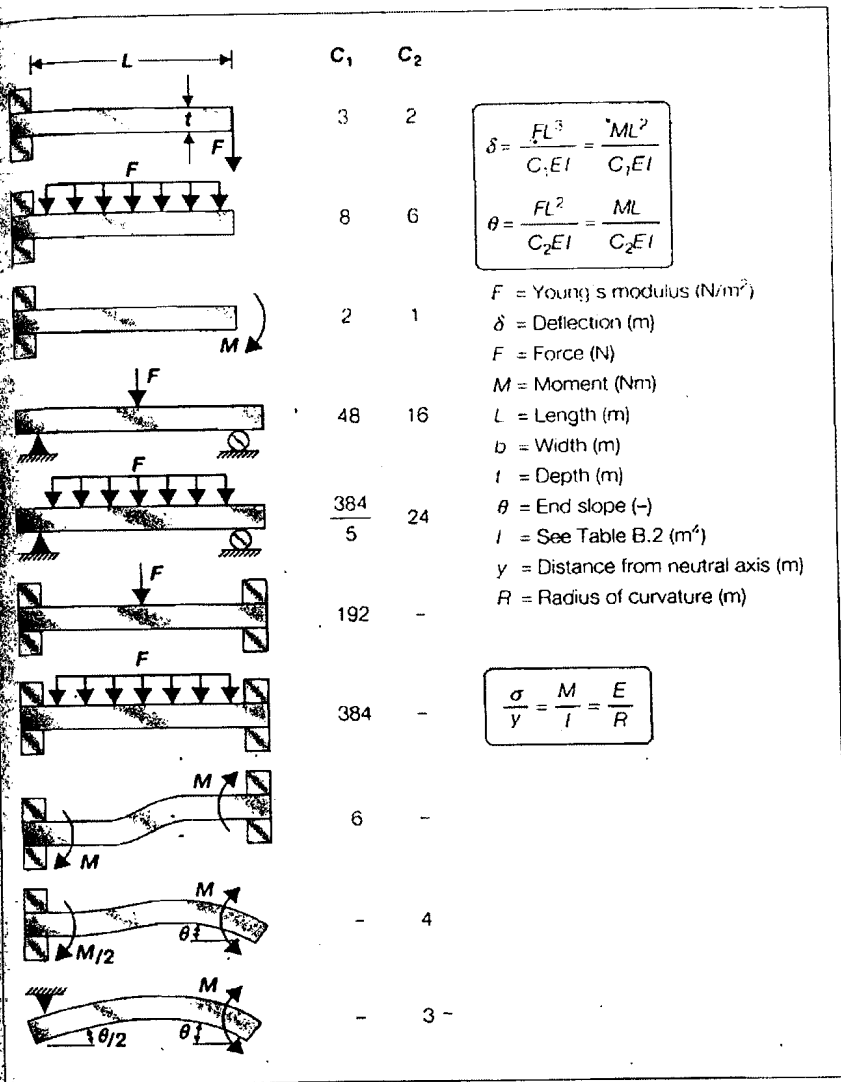


FIGURE B.3

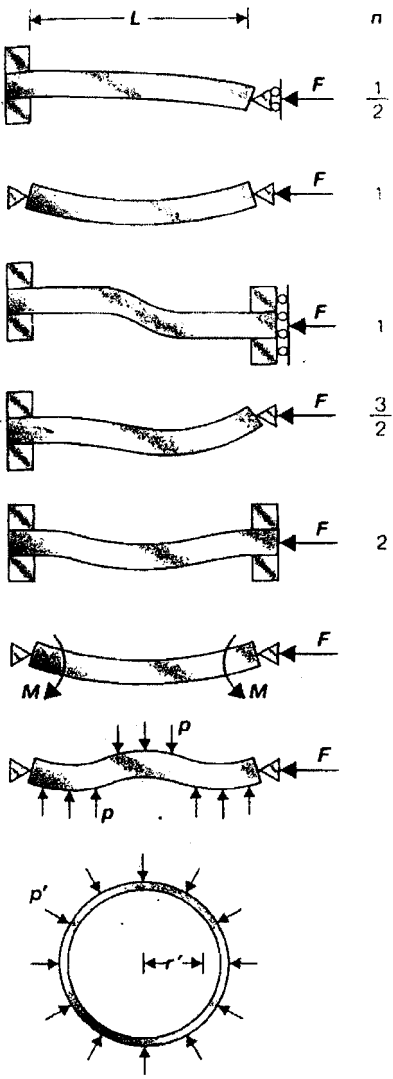
ails by elasti
d constrain
end may
te but not
y both sw
column lea
by a value of
ngths of the

g load by th
: that a tensi

; pressure,

e local latera
he third box
l pressure, p
of area of

cture. It is this
Chapter 9).



$$F_{crit} = \frac{n^2 \pi^2 EI}{L}$$

$$\text{or } \frac{F_{crit}}{A} = \frac{n^2 \pi^2 E}{(L/r)^2}$$

- F = Force (N)
- M = Moment (Nm)
- E = Young's modulus (N/m²)
- L = Length (m)
- A = Section area (m²)
- I = See Table B 2 (m⁴)
- r = Gyration radius ((I/A)^{1/2}) (m)
- k = Foundation stiffness (N/m²)
- n = Half-wavelengths in buckled shape
- p' = Pressure (N/m²)

$$F_{crit} = \frac{\pi^2 EI}{L^2} - \frac{M^2}{4EI}$$

$$F_{crit} = \frac{n^2 \pi^2 EI}{L^2} - \frac{kL^2}{n^2}$$

$$p'_{crit} = \frac{3EI}{(r')^3}$$

FIGURE B.5